

## بررسی و ارزیابی وضعیت جزیره حرارتی کلان شهر تهران با استفاده از

### تصاویر ماهواره‌ای

علی مجنوی تو تاخانه<sup>\*</sup> و محمد ابراهیم رمضانی<sup>۱</sup>

۱ - مدرس گروه مهندسی معماری دانشگاه بناب، بناب، ایران

۲ - استادیار مهندسی محیط زیست دانشگاه آزاد اسلامی، واحد تبریز، تبریز، ایران

(تاریخ دریافت ۹۶/۱۲/۱۲ - تاریخ پذیرش ۹۷/۰۱/۲۹)

#### چکیده:

جزیره حرارتی شهر یکی از بارزترین پیامدهای گسترش شهرنشینی و توسعه کلان شهرها است. اثرات ناشی از شکل‌گیری جزیره‌های حرارتی می‌تواند نقشی اساسی و مهم در کیفیت هوای و بع آن سلامت عمومی ایفا می‌نماید. پژوهش حاضر با هدف بررسی نقش پوشش عناصر سطح زمین در تعییرات اقلیمی دما در کلان شهر تهران صورت پذیرفته است. درین مطالعه، اطلاعات مورد نیاز از باندهای ۱۰ و ۱۱ سنجنده‌های OLI و TIRS ماهواره لندست ۸ در دو دوره تاستان و زمستان سال ۲۰۱۷ مورد بررسی قرار گرفته است. برای بررسی وضعیت جزیره حرارتی، از طبقات تک باند برای بررسی توزیع دمای سطح زمین در محدوده تهران و تعیین اثرات محلی جزیره حرارتی در سطح این شهر استفاده شد. در ادامه همبستگی دمای سطح زمین با شاخص پوشش گیاهی تفاضل نرمال شده، شاخص ساخت و ساز، شاخص زمین بایر و شاخص آب برای تعیین اثرات زمین سبز، لخت، آبی و مسکونی بر روی جزیره حرارتی به دست آمد. نتایج نشان داد که اثر جزیره حرارت شهری بیشتر در مناطق شمالی این شهر قرار داشته که ناشی از وجود شهرک صنعتی و توبوگرافی کوهستانی است. همچنین بین دمای سطح زمین و شاخص پوشش گیاهی تهران ارتباط وجود دارد به نحوی که با کاهش پوشش گیاهی میزان دمای سطح این شهر، افزایش یافته است. در نهایت با توجه به یافته‌های پژوهش پیشنهادهای کاربردی ارائه شده است.

**کلید واژگان:** لندست ۸، دمای سطح زمین، جزیره حرارت شهری، کلان شهر تهران

شهری یکی از مهم‌ترین مسائل محیط‌زیستی امروز جهان است. این پدیده در کلان‌شهر تهران به عنوان نخست شهر ایران نیز با افزایش روند شهری شدن، بیشتر و بیشتر معنی دار شده و اثرات زیادی بر توسعه شهر تهران و محیط‌زیست زندگی ساکنان آن داشته است (Lin *et al.*, ۲۰۱۱). همچنان ساختمان‌های بلند و خیابان‌های نسبتاً باریک هوای محبوس بین آن‌ها را گرم کرده و جریان هوا را کاهش داده‌اند (Toutakhane & Mofareh, ۲۰۱۶) گرمای ناشی از وسایل نقلیه رو به ازدیاد، کارخانه‌ها و صنایع و تهویه‌های هوا، بر گرمای اطراف افزوده و سبب بدتر شدن اثر جزیره حرارتی در شهر تهران گردیده است (Feng *et al.*, ۲۰۱۴). با پیشرفت روند جزیره حرارتی در شهر تهران، این مسئله می‌تواند بر آب و هوای محلی اثرگذار بوده و الگوی بادهای محلی در این شهر را نیز تغییر دهد.

سنجرش از دور حرارتی<sup>۱</sup>، شاخه‌ای از سنجش از دور محسوب می‌شود که پیرامون پردازش و تفسیر داده‌های به دست آمده در ناحیه مادون قرمز حرارتی (TIR) و طیف الکترومغناطیس (EM) بحث می‌نماید (Amawa, ۲۰۱۷). با توجه به این‌که حرارت به عنوان نوعی کمیت مهم ترمودینامیکی می‌تواند برای شناسایی ماده و انتقال حرارت استفاده شود (Norman, ۱۹۹۵)، در سنجش از دور حرارتی، تابش‌های ساطع شده از سطح هدف، اندازه‌گیری می‌شود (Toth and Jozkow, ۲۰۱۶). به طوری که مطالعات شهری با کسب دمای سطح زمین از باند حرارتی ماهواره لندست<sup>۲</sup>، به طور گسترده‌ای صورت گرفته است (Weng, ۲۰۰۱). نتایج همه این تحقیقات نشان داده است که دمای سطح زمین

## ۱. مقدمه

جهان امروزه جریان بی‌سابقه‌ای از صنعتی شدن و شهری شدن بدون برنامه را تجربه می‌نماید. با توسعه شهرنشینی، وسعت زیادی از مناطق کشاورزی و جنگل جای خود را به مناطق مسکونی و صنعتی و دیگر زیرساخت‌ها داده‌اند که به عنوان مراکز تولید انسانی، حیات و دستیابی به تمدن شناخته می‌شوند (Sharma *et al.*, ۲۰۱۶). توسعه صنایع در کنار گسترش روزافزون شهرنشینی منجر به تخریب گسترده زمین‌های کشاورزی، پوشش گیاهی و اختصاص بخش عمده‌ای از آب برای مصارف شهری و صنایع شده است (Adegoke & Sojobi, ۲۰۱۵). همچنان که چشم‌انداز مصنوعی جایگزین چشم‌انداز طبیعی می‌گردد، تغییر مواد تشکیل دهنده سطح زمین سبب یک سری از تغییرات بازتاب سطح، نگهداشت گرما و انتقال گرما یا به عبارتی اثرات معنی‌داری بر آب و هوای محلی می‌گردد (Zhang *et al.*, ۲۰۱۲). از این تأثیرات یکی از آشناترین آن‌ها جزیره حرارتی شهری است که امروزه بیشتر شهرها و مخصوصاً کلان‌شهرها را درگیر کرده است (Streutker, ۲۰۰۲). جزیره حرارت شهری یک منطقه شهری است که به طور معنی‌داری گرم‌تر از مناطق مجاورش هست (Liu & Zhang, ۲۰۱۱). بازنمود شاخصی از مشکلات محیط‌زیستی اکولوژیکی شهری است (Amawa, ۲۰۱۷). مشکلات ناشی از تشکیل جزیره حرارتی شهری نه فقط منجر به کاهش کیفیت هوا، اثرات بر میزان بارندگی و افزایش آلودگی می‌گردد، بلکه تهدیدی برای سلامت جسمانی ساکنین و کیفیت حیات شهروندان ساکنان است (Zhang *et al.*, ۲۰۱۲). مشکلات جزیره حرارت

یکپارچهای با عنوان "پتانسیل نوارهای بازتابنده<sup>۴</sup>" ارائه نمودند. آن‌ها در این روش با استفاده از تصاویر برگرفته از باندهای ۱۰ و ۱۱ ماهواره لندست ۸، اقدام به بررسی ویژگی‌های پوشش گیاهی و نقش آن در شکل‌گیری جزیره حرارتی شهری نموده‌اند. محاسبات پژوهشگران اثبات کرد که میزان دقت (صحت) تصاویر ماهواره‌ای در این روش در حدود از نظر  $89/33$  درصد بوده است (*Mushore et al., ۲۰۱۷*). همچنین در سال ۲۰۱۷ با استفاده از تصاویر ماهواره‌ای و محاسبات آماری، مدل‌سازی جزیره‌ی حرارتی در شهرهای مهم جنوب شرقی آسیا صورت گرفته و از طریق محاسبه ضریب نفوذ فضاهای سبز شهری، ارتباط بین عناصر شهری مانند معابر شهری، ارتفاع ساختمان، پیچیدگی فضاهای سازنده شهری و... با توسعه فضاهای سبز شهری اثبات گردید (*Estoque et al., ۲۰۱۷* و *Wang et al., ۲۰۱۸*). با ارائه روشی تحت عنوان "ماشین پشتیبانی وکتوری<sup>۵</sup>" از طریق محاسبات عددی و تعیین دامنه تغییرات، اقدام به بررسی ارتباط بین رشد سریع شهری، شکل‌گیری درجه حرارت و موقع خوش شهری چین نموده‌اند (*Li et al., ۲۰۱۸*). *Wang et al., ۲۰۱۸* با ارائه روشنی جدید در تحلیل تصاویر ماهواره‌ای، مشکلات روش‌های قبلی در خصوص اندازه‌گیری شدت گرمای سطح زمین را برطرف کردند. آن‌ها با استفاده از رابطه بین دمای سطح زمین و سطح غیرقابل نفوذ و از طریق محاسبه معادلات خطی، مربوط به اندازه تراکم پیکسل‌ها، تغییرات دمایی شهر را با ضریب دقت بیش از  $90$  درصد اندازه‌گیری کردند (*Li et al., ۲۰۱۸*). همه این روش‌ها بر پایه تصاویر

همبستگی بالایی با تکامل شهری دارد. محققان زیادی نیز به طبقه‌بندی مناطق شهری با تکنیک بازیابی دمای سطح زمین و به تحلیل دمای سطح شهر و *Tian et al., ۲۰۰۱*; *Sobrino et al., ۲۰۰۶* تأثیرات آن پرداختند (*Chen et al., ۲۰۰۴*) و همگی بر ضرورت دستیابی به پارامتر انتشار از اطلاعات ماهواره‌ای تأکید داشته‌اند، به‌طوری‌که عامل انتشار و دمای سطح را عامل مفیدی برای درک طبقات پوشش زمین و درک مسائل بار انرژی دانسته‌اند. روش‌های مختلف بازیابی دمای سطح زمین، براساس منابع اطلاعات مختلف توسعه یافته است، مثل روش دو باندی<sup>۱</sup> (*Sobrino et al., ۱۹۹۶*)، روش جداسازی انتشار/ دما<sup>۲</sup> (*Sobrino et al., ۱۹۹۶*، روش تک باندی (*Qin et al., ۲۰۰۱*) و روش کانال واحد<sup>۳</sup> (*Sobrino et al., ۲۰۰۴*). علاوه بر این روش‌ها، در سال ۲۰۱۰ محققین ضمن بررسی روش پردازش تصویر با استفاده از ابزار مدل‌ساز فضایی نرم‌افزار تصاویر ماهواره‌ای ERDAS به این نتیجه دست یافتند که کسب دمای سطح زمین از تصاویر ماهواره‌ای اصلی امری پیچیده است و نیاز به یک مدل مستقیم و سیستماتیک است که به سادگی روند پردازش را انجام دهد (*Sun et al., ۲۰۱۰*). نتایج بررسی‌های محققان در سال ۲۰۰۸ حاکی از این بود که آگاهی از انتشار سطح زمین برای ارزیابی دمای سطح زمین مهم است به‌طوری‌که انتشار می‌تواند خطای ارزیابی دمای سطح زمین از اطلاعات حرارتی ماهواره را کاهش دهد (*Mallick et al., ۲۰۱۲*). در سال ۲۰۱۷ برای اولین بار پژوهشگران روشنی جدید و

<sup>۴</sup>-traditional reflective

<sup>۵</sup>-support vector machine method

۱-Split-Window Algorithm

۲-Temperature/Emissivity Separation

۳-Single-Channel

به طوری که از شمال به جنوب در دامنه کوهستان شمیرانات با شیب متوسط ۱۰٪ تا ۱۵٪، از تجریش تا تپه‌های عباس‌آباد ۳٪ تا ۵٪، از عباس‌آباد تا خیابان انقلاب ۲٪ و از مرکز شهر تهران تا کناره ۱٪ است. شهر تهران در شمال تا ارتفاع ۲۰۰۰ متری و در جنوب تا ارتفاع ۱۰۰۰ متری گسترش یافته است که به علت گستردگی و وسعت زیاد این شهر، تأثیری مهم بر ویژگی‌های فضاهای شهری تهران داشته است. امروزه تهران به عنوان پایتخت ایران به کلان‌شهری بزرگ تبدیل شده است که نقش نخست شهری و مرکز سیاسی، اقتصادی و مدیریتی گسترهای را بر عهده دارد، به طوری که با فقط شهر تهران با جمعیتی معادل ۱۳ میلیون نفر در سال ۱۳۹۵ در حدود ۱۶/۲۵ درصد از کل جمعیت ۸۰ میلیونی کشور را در خود جای داده و بالاترین تراکم شهری را در کشور به خود اختصاص داده است و هسته‌های متعدد مسکونی و صنعتی در شهر ایجاد شده است (نتایج سرشماری سال ۱۳۹۵). شکل ۱ تصویر رنگی کاذب شهر تهران را نشان می‌دهد.

## ۲. روشن پژوهش

نوع تحقیق کاربردی و روشن بررسی آن تحلیلی- توصیفی است. تصاویر ماهواره‌ای مورد استفاده در این پژوهش مربوط به سنجندهای<sup>۲</sup> TIRS<sup>۲</sup>، OLI<sup>۲</sup> (باندهای ۱۰ و ۱۱) ماهواره لندست ۸ است. در گام اول تصویر شهر تهران مربوط به گذر ۱۶۴ و ردیف ۳۵ از طریق سایت (<http://www.usgs.gov>) در فرمت img دریافت شد که ویژگی‌های تصویر در جدول ۱ ذکر شده است.

۲-Thermal Infrared Sensor

۳-Operational Land Imager

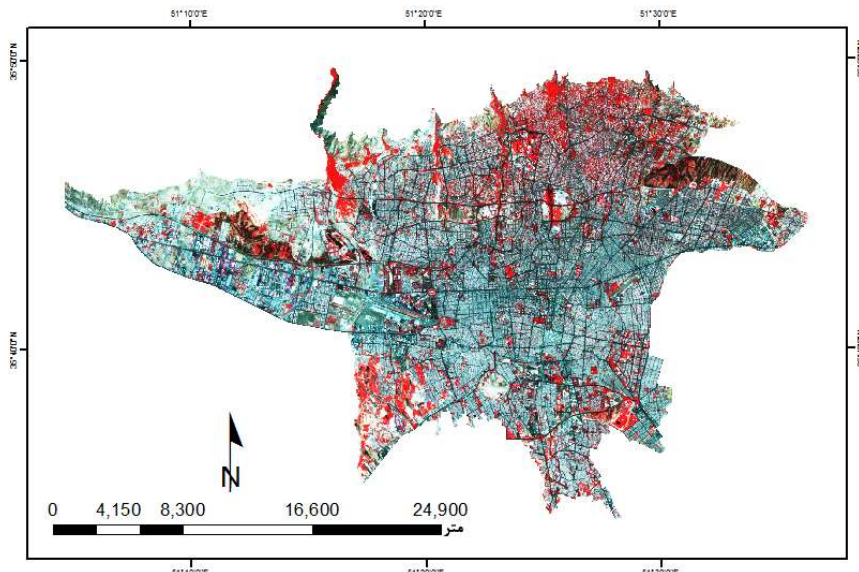
ماهواره‌ای حاصل از ماهواره‌های Landsat، AVHRR، SPOT، ASTER و غیره بوده‌اند که با گذشت زمان و پیشرفت ماهواره‌های عمدتاً سری لندست و همچنین ارائه روش‌های جدید پردازش تصاویر که معمولاً با استفاده از محاسبات الگوریتمی صورت پذیرفته است (Ogashawara, ۲۰۱۲)، با در نظر گرفتن این نکته که جزیره حرارتی شهری اساساً در توزیع فضایی دمای سطح زمین<sup>۱</sup> آشکار می‌شود که به وسیله جریان‌های گرمای سطح مدیریت شده است و به طور مشخص تحت تأثیر شهری شدن می‌باشد (Sun *et al.*, ۲۰۱۰) در نتیجه، دستیابی به دمای سطح زمین گام کلیدی و اولیه برای تحلیل جزیره حرارتی شهری می‌باشد. با توسعه تکنولوژی سنجش از دور حرارتی، دمای سطح زمین در سرتاسر منطقه به آسانی قابل دستیابی است و علم و هنر سنجش از دور پاسخ‌گوی مناسب انجام چنین تحقیقاتی است. در این پژوهش ضمن بررسی توزیع مکانی جزیره حرارتی با کمک بازیابی دمای سطح زمین شهر تهران با استفاده از تصاویر ماهواره‌ای لندست ۸، به تحلیل اثرات انواع پوشش زمین شهری در ایجاد جزایر حرارتی پرداخته شد و استراتژی‌ها و راهبردهای کاهنده جزیره حرارتی شهری ارائه گردید تا توجه محققین و تصمیم‌سازان را به مسئله گسترش شهری، اثرات جزیره حرارتی شهری و اثرات آن بر روی آب‌وهوای محلی در آسایش آینده انسان جلب نماید.

## ۲. مواد و روش‌ها

### ۱۰. منطقه مورد مطالعه

منطقه شهری تهران بین دو محدوده متفاوت کوه و کویر به صورت هلالی شکل توسعه یافته است

۱-Land Surface Temperature



شکل ۱- محدوده شهر تهران با تصویر ماهواره‌ای TM تصحیح هندسی شده

با ترکیب رنگی کاذب (FCC ۴-۳-۲)

جدول ۱- ویژگی‌های تصاویر ماهواره لندست ۸ مورد استفاده در پژوهش

سنجنده	تاریخ تصویر	ساعت تصویربرداری (به وقت محلی)	زاویه خورشیدی	زاویه ارتفاع خورشیدی	زاویه آزیمoot خورشیدی
OLI, TIRS	۱۷ دی ۹۰	۰۶:۵۷:۰۰	۶۳/۱۹	۱۱۷/۷	۶۳/۱۹
OLI, TIRS	۱۲ فوریه ۹۰	۰۴:۳۵:۰۰	۶۳/۱۹	۱۱۷/۷	۶۳/۱۹

سیستم مختصاتی مورد استفاده تصویر، UTM بیضوی WGS-۸۴ زون ۳۹ شمالی است. سپس، از image subset برای برش منطقه مطالعه مان استفاده شد. بعد از پیش‌پردازش، تصویر منطقه مورد مطالعه برای پردازش داده‌ها و تحلیل جزیره حرارت شهری مورد بررسی قرار گرفت، به طوری که برای بازبایی دمای سطح زمین عدد رقومی تصویر موردنظر به تابش طیفی تبدیل و با استفاده ازتابع پلانک تابش طیفی نیز به دمای روشنایی سنسور ماهواره موردنظر تبدیل شد. با توجه به این که آگاهی از انتشار سطح زمین برای ارزیابی دمای سطح زمین مهم است، در گام بعدی با استفاده از طبقه‌بندی شاخص گیاهی

در مرحله پیش‌پردازش داده‌ها به دلیل این که باندهای OLI, TIRS از لحاظ توان تفکیک مکانی متفاوت می‌باشند، در ابتدا ترکیب تصاویر تک باند به یک تصویر چند باند با استفاده از ERDAS layerstacking در نرم افزار Imagine ۹,۱ انجام شد. تصحیح هندسی از طریق ارجاع و تطبیق با نقشه توپوگرافی ۱:۲۵۰۰۰ و با استفاده از ۱۶ نقطه کنترل زمینی<sup>۱</sup> بیشتر شامل تقاطع خیابان‌ها و جاده‌ها انجام شد، دراین مطالعه، خطای RMS کمتر از نیم پیکسل (۰/۴۸۰) بوده است که بر اساس استاندارها کاملاً قابل قبول است. در ضمن

۱-Ground Control Point

کالیبراسیون لندست ۸ نشان‌دهنده رادیانس طیفی سنسور ماهواره لندست ۸ است. همچنین به منظور تهیه نقشه توزیع دمای سطح زمین شهر تهران براساس تصاویر ماهواره لندست ۸ از روش زیر استفاده شده است (Asgarian *et al.*, ۲۰۱۵).

### ۳.۰.۲ محاسبه انتشار سطح زمین

محاسبه کسر بین باند مادون قرمز نزدیک (TIR) و باند قرمز (باند R یا باند شماره ۴ در لندست ۸) می‌تواند اطلاعات پوشش گیاهی را قوی‌تر نشان دهد. انتشار می‌تواند با استفاده از NDVI معادله ۳ محاسبه گردد (Van De Griend & Owe, ۲۰۰۳). در سال ۲۰۱۷ روش تخمین انتشار سطح زمین را با استفاده از NDVI به صورت جدول ۲ ارائه شده است (Zhang *et al.*, ۲۰۰۶).

$$\text{NDVI} = (\rho(\text{band}^4) - \rho(\text{band}^3)) / (\rho(\text{band}^4) + \rho(\text{band}^3)) \quad (3)$$

### ۳.۰.۳ محاسبه پراکنش جوی

در واقع، پراکنش جوی می‌تواند با استفاده از ظرفیت بخار آب تخمین زده شود. برای محاسبه ظرفیت بخار آب، معادله ۴ می‌تواند به صورت زیر استفاده شود (Karkon- Sistani & Doustan, ۲۰۱۴):

$$W_i = 0.0981 \times \left\{ 10 \times 0.6108 \times \exp [17.27 \times (T_i - 273,15) / (237,3 + (T_i - 273,15))] \times RH \right\} + 0.1697 \quad (4)$$

$W_i$  ظرفیت بخار آب ( $\text{g}/\text{cm}^3$ ) که معادل  $2/45$  حاصل گردید،  $T_i$  دمای هوای نزدیک سطح در K و RH نشان‌دهنده رطوبت نسبی است. دمای نزدیک سطح و رطوبت نسبی، از مشاهدات میدانی کسب شد. برای داده‌های ماهواره لندست ۸، این عوامل ارزش‌های متوسط ایستگاه‌های هواشناسی در زمان گذر ماهواره می‌باشند که به ترتیب دمای هوای نزدیک سطح

تفاضل نرمال شده (NDVI)، انتشار سطح زمین محاسبه گردید، سپس پراکنش جوی محیط با استفاده از ظرفیت بخار آب تعیین و میانگین دمای جوی نیز با استفاده از معادلات ارائه شده توسعه (Qin *et al.*, ۲۰۰۱؛ Sun *et al.*, ۲۰۱۰) تعیین شد و در نهایت با استفاده از معادله خوارزمی تک باند دمای سطح زمین منطقه مورد مطالعه تعیین شد. برای استخراج دمای سطح مراحل زیر انجام شد:

- تبدیل عدد رقومی<sup>۱</sup> به تابش طیفی<sup>۲</sup>:

برای تبدیل داده‌های عدد رقومی از باندهای ۱۰ و ۱۱ سنجندهای OLI و TIRS ماهواره لندست ۸، به Qin *et al.* (۲۰۰۱) می‌تواند نوشته شود:

$$Q_{dn}/Q_{max}(L_{max} - L_{min}) L_i = L_{min} + \dots \quad (1)$$

که  $L_i$  رادیانس طیفی سنسور (MW.  $\text{Cm}^{-1}.Sr^{-1}$ )،  $L_{max}$ ،  $\mu\text{m}^{-1}$  ماکریم رادیانس طیفی سنسور  $L_{min}$  (۱۵/۳۰۳)،  $L_{min}$  مینیمم رادیانس طیفی سنسور (۲۵۵/۱۲۳۸)،  $Q_{max}$  ماکریم ارزش DN پیکسل‌ها و  $Q_{dn}$  ارزش DN پیکسل است.

- تبدیل تابش طیفی به دمای روشنایی سنسور<sup>۳</sup>:

برای تبدیل تابش طیفی به دمای روشنایی سنسور، تابع پلانک می‌تواند استفاده شود (Qin *et al.*, ۲۰۰۱) در این معادله، با توجه به تابع پلانکو با در نظر گرفتن دو پارامتر  $K_1$  و  $K_2$  برای داده‌های ماهواره‌ای لندست ۸، معادله ۲ می‌تواند استفاده شود:

$$T_i = K_2 / I(1 + K_1 / L_i) \quad (2)$$

$$K_1 = 60,776 \text{ MW.cm}^{-1}.sr^{-1}.\mu\text{m}^{-1}$$

$$K_2 = 1260,56 \text{ K}$$

در معادله فوق،  $T_i$  دمای روشنایی سنسور ماهواره و

۱-Digital Number

۲-Spectral Radiance

۳-at- Sensor Brightness

معادل  $312/55$  درجه کلوین و رطوبت نسبی نیز ۷ درصد بود (Karkon- Sistani & Doustan, ۲۰۱۴).

جدول ۲- تخمین انتشار سطح زمین با استفاده از شاخص گیاهی تغیریقی نرمال شده

NDVI	انتشار سطح زمین ( $\varepsilon_i$ )
>NDVI- $0/185$	$0/995$
$<0/157 \leq NDVI - 0/185$	$0/970$
$0/727 \leq NDVI \leq 0/157$	$1/0094 + 0/047 \times \ln(NDVI)$
> $0/727 NDVI$	$0/990$

جدول ۳- روابط مربوط به برآورد قابلیت عبور دهنده‌گی جو

معادله برآورد عبور دهنده‌گی جو ( $\tau_e$ )	مقدار بخار آب ( $W_i$ ) (g/cm <sup>2</sup> )	شرایط دمایی
$0.97429000 \cdot 0.8007^* W_i$	$0/4-1/6$	دماهی هوا بالا باشد
$1.03141200 \cdot 11536^* W_i$	$1/6-3$	
$0.98200700 \cdot 0.9611^* W_i$	$0/4-1/6$	
$1.05371000 \cdot 141422^* W_i$	$1/6-3$	دماهی هوا پایین باشد

$$\begin{aligned} \text{معادله } 8: & \quad \tau_e = 1.05371000 \cdot 141422^* W_i \\ \text{معادله } 6: & \quad T_a = 16.01101 + 0.92621 \times T_a \end{aligned}$$

۵.۲. بازیابی دمای سطح زمین با استفاده از خوارزمی تک باند  
خوارزمی تک باند می‌تواند به صورت معادله ۷ نوشته شود (Qin et al., ۲۰۰۱). ۳ متغیر (انتشار، پراکنش و دمای متوسط مؤثر جوی) به صورت زیر تعریف می‌شوند:

$$T_s = \{a(1-C-D) + b(1-C-D) + C + D\} T_i -$$

$$DT_a\}/C(7)$$

$$a = -67,355351$$

$$b = 0,458606$$

$$C = \varepsilon_i \times \tau_i(8)$$

برای داده‌های ماهواره لندست ۸، معادله ۵ با توجه به نتایج مطالعات (Qin et al., ۲۰۰۱; Sun et al., ۲۰۰۱) می‌تواند به کار رود تا میزان پراکنش جوی ماهواره لندست ۸ حاصل شود:

$$\tau_e = 1.03141200 \cdot 11536^* W_i \quad (5)$$

که  $\tau_e$  میزان پراکنش جوی ماهواره لندست انسان‌دهنده ظرفیت بخار آب که می‌توان با توجه به معادله ۳ می‌توان به آن دست یافت و با توجه به این که  $W_i$  بین  $0/4-1/6$  معادل  $2/45$  به دست آمد براساس معادله ۴ مقدار  $\tau_e$  معادل  $0/9217$  به دست آمد.

#### ۴.۰. محاسبه میانگین دمای جوی

معادله میانگین دمای جوی مناسب برای مناطق واقع در عرض جغرافیایی میانه و در فصل تابستان می‌تواند برای محاسبه دمای متوسط جوی استفاده شود (Qin

نواحی کشاورزی جنوبی را در بر می‌گیرد. در بخش‌های کوهستانی شمالی شهر این نواحی شامل دره‌هایی با جریان مؤثر باد و پوشش گیاهی متراکم است. بیشتر مناطق ۱ شهرداری تهران و سد لتيان در این طبقه دمایي قرار می‌گيرند.

در بخش‌های کوهستانی شرق و همچنین در پهنه‌های غربی طبقه ۲ دمایي حضور گستته داشته و لکه‌های پراکنده هسته شهر منطبق با پارک‌های شهری عمدتاً مربوط به این طبقه است. طبقه ۳ دمایي بیشتر در نواحی هسته شهری قرار گرفته و در سایر نواحی، طبقه ۳ به صورت لایه مرزی حول طبقات ۱ و ۲ قرار گرفته است و به سمت جنوب پیوسته است. طبقه ۴ دمایي الگوی پس زمینه دما در سطح شهر تهران بوده و بیشتر از مرکز به سمت غرب شهر دارای پیوستگی است. طبقه ۵ دمایي بیشتر در پهنه غربی شهر و مناطق پهنه کوهستانی شرق و جنوب شرقی وجود دارد که علت اصلی آن وجود صنایع سنگین در این نواحی است. جدول ۴ درصد هر یک از طبقات دمایي نشان داده شده است. برای تعیین ارتباط بین کاربری‌های مختلف با دمای سطح زمین در ایجاد پدیده جزیره حرارتی با استفاده از معادلات ارائه شده برای هر یک از شاخص‌ها، لایه شاخص‌های گیاهی نرماییزه شده (NDVI)، شاخص تفکیک مناطق مسکونی (NDBI)، شاخص تفکیک مناطق آبی (NDWI) و شاخص برهنگی سطح (NDBaI) مورد بررسی قرار گرفته است که نقشه مربوط به این چهار شاخص مطابق شکل شماره ۳ به دست آمده است.

۱- $D=t_i(1-\epsilon_i)\times\tau_i$  در معادله فوق،  $T_s$  دمای سطح زمین، برحسب کلوین،  $T_i$  دمای روشنایی برحسب کلوین که با استفاده از معادله ۲ قابل محاسبه می‌باشد، انتشار ( $\epsilon_i$ ) است که می‌تواند با استفاده از NDVI محاسبه و طبقه‌بندی شود (جدول ۲).  $\tau_i$  پراکنش جوی، با استفاده از معادله ۴ قابل محاسبه استو  $T_a$  نشان‌دهنده دمای متوسط مؤثر جوی است.

علاوه بر این، در پژوهش حاضر جهت بررسی دقیق‌تر وضعیت جزیره حرارتی شهر تهران از شاخص‌های گیاهی (NDVI)<sup>۱</sup>، شاخص ساخت و ساز<sup>۲</sup> (NDWI) (معادله ۱۰)، شاخص آب (NDBI)<sup>۳</sup> (معادله ۱۱) و شاخص زمین بایر (NDBaI)<sup>۴</sup> (معادله ۱۲) در باندهای (سیز)، باند ۴ (قرمز)، باند ۵ (مادون قرمز نزدیک) و باند ۶ (مادون قرمز طول موج کوتاه) ماهواره لنdest ۸ در تاریخ‌های ۱۹ ژوئیه ۲۰۱۷ استفاده شده است.

$$\begin{aligned} \text{NDBI} &= (d(\text{band}5) - d(\text{band}4)) / (d(\text{band}5) + d(\text{band}4)(10)) \\ \text{NDBaI} &= (d(\text{band}5) - d(\text{band}6)) / (d(\text{band}5) + d(\text{band}6)(11)) \\ \text{NDWI} &= (p(\text{band}4) - p(\text{band}5)) / (p(\text{band}4) + p(\text{band}5)(12)) \end{aligned}$$

### ۳. یافته‌های پژوهش

نقشه توزیع دمای سطح زمین شهر تهران بر اساس تصاویر ماهواره لنdest ۸ در تاریخ ژوئیه ۲۰۱۷ میلادی در شکل ۲ نشان داده شده است.

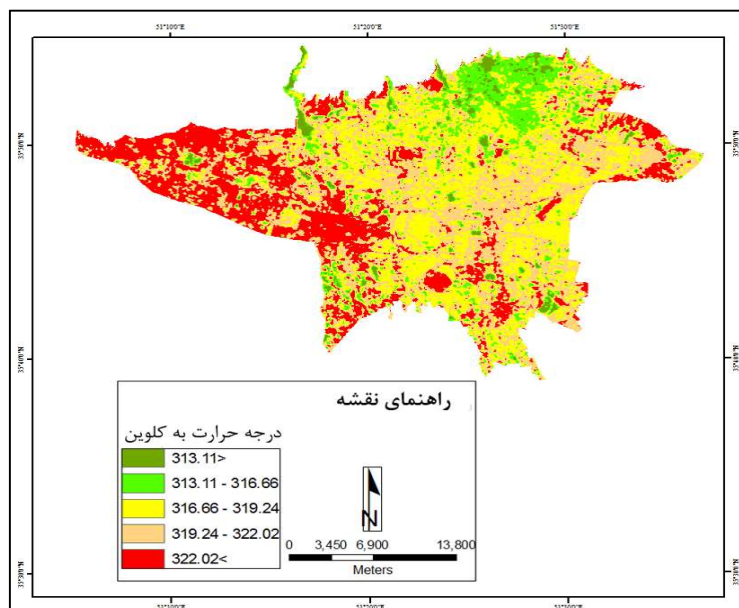
برای بررسی توزیع دمای سطح بر اساس شکل ۲، دمای سطح به پنج طبقه تقسیم‌بندی شد. طبقه ۱ دمایی که نشان‌دهنده خنک‌ترین نواحی است بخش اعظمی از نواحی کوهستانی شمالی و بخش اندکی از

۱-Normalized Difference Vegetation Index

۲-Normalized Difference Building Index

۳-Normalized Difference Water Index

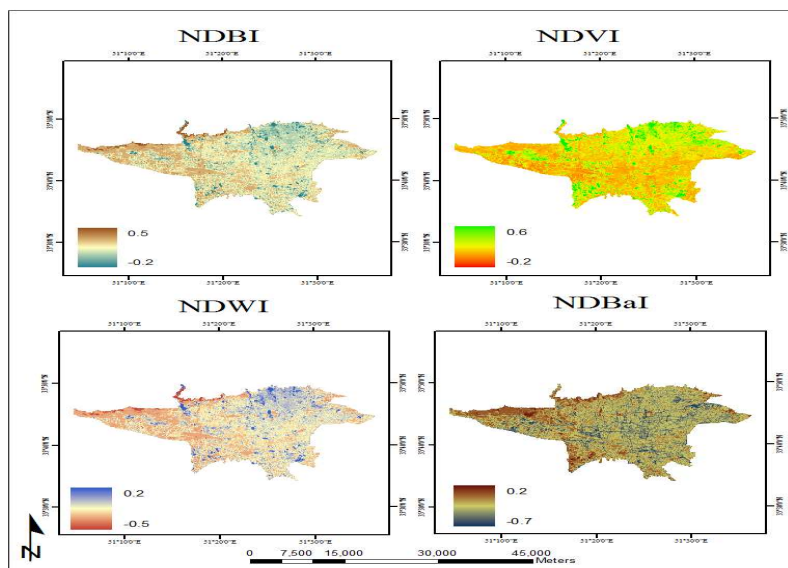
۴-Normalized Difference Bare land Index



شکل ۲- نقشه دمای سطح زمین منطقه مورد مطالعه

جدول ۴- طبقات دمای سطحی شهر تهران و درصد مساحت هر طبقه

طبقه ۵	طبقه ۴	طبقه ۳	طبقه ۲	طبقه ۱	طبقات دما
۴۷/۵۱-۴۷/۲۹	۴۷/۲۹-۴۱/۴۸	۴۱/۴۸-۳۵/۴۸	۳۵/۴۸-۲۶/۵۴	-۱۵/۴۲ ۲۶/۵۴	محدوده حرارتی (سانتیگراد)
%۲۲/۷۴	%۳۳/۲	%۳۲	%۹/۷۷	%۲/۲۷	مساحت (درصد)



شکل ۳- نقشه شاخص‌های مربوط به تصاویر ماهواره‌ای در تاریخ ۱۹ زوئیه ۱۴۰۷

نتایج همبستگی شاخص‌های چهارگانه با حرارت سطح

مهرآباد، قابلیت اطمینان دارند. در این مرحله تفاوت دمایی تصاویر ماهواره‌ای و داده‌های ایستگاه هواشناسی مهرآباد برابر با  $3/99$  درجه کلوین به دست آمد، این امر نشان‌دهنده این امر است که دمای بازیابی شده سطح زمین توسط ماهواره بیشتر از دمای درجای سطح زمین است که ناشی از اثرگذاری عناصر جوی (اتمسفری) بر امواج بازگشته از زمین است. در نهایت شکل شماره  $۶$ ، پراکندگی فضایی مناطق دمایی تهران را برای تصاویر  $۲۰۱۷/۱۱/۳۰$  و  $۲۰۱۷/۰۵/۱۵$  نشان می‌دهد. بر اساس این نقشه، خوش‌های داغی در فصل گرم سال شکل گرفته و در فصل سرد سال از بین می‌روند. به عبارتی مناطقی که با رنگ سبز مشخص شده‌اند، خوش‌های داغی را تشکیل می‌دهند که بین دو فصل گرم و سرد سال در محدوده غرب و جنوب غرب تهران شکل گرفته‌یا تقویت شده‌اند و بر عکس مناطق مشخص شده با رنگ آبی نشان دهنده نواحی است که خوش‌های داغ مستقر در این نواحی از بین رفته یا تضعیف شده‌اند. بر اساس این نقشه، مرکز جزیره حرارتی همچنان بر روی فرودگاه مهرآباد باقی مانده و کانون اصلی خود را حفظ کرده است. در پیرامون این کانون اصلی خوش‌های داغ جدیدی در سمت غرب و جنوب غرب فرودگاه مهرآباد ظهور یافته‌اند. همچنان مقایسه مقدار خزانپوشش گیاهی در فصل تابستان و زمستان نشان می‌دهد که تقویت و گسترش جزیره حرارتی و کاهش مساحت نواحی خنک در شهر تهران هماهنگی انکارناپذیری با خزان پوشش گیاهی در فصول سرد سال و همچنین رویش دوباره پوشش گیاهی در فصول گرم سال دارد (شکل  $۴$ ).

زمین (LST)<sup>۱</sup> به تفکیک فصل گرم و سرد سال نشان داد که مناطق دارای پوشش گیاهی سبب کاهش دمای سطح زمین شده ( $-0.53^{\circ}\text{C}$ ) در حالی که مناطق مسکونی سبب افزایش دمای سطح زمین شده است ( $+0.62^{\circ}\text{C}$ ). علاوه بر این، نتایج آزمون درخصوص دو متغیر آب و برهنگی سطح زمین نشان داد که به علت نبود منابع آبی در سطح شهر تهران، این عامل نقش چندانی در تعديل درجه حرارت ندارد. همچنان بر اساس نتایج آزمون، شاخص برهنگی سطح زمین دارای ارتباط نزدیکی با شاخص آب داشته و به علت نبود منابع آب، سطح زمین از پوشش گیاهی برهنه شده و بر میزان حرارت شهر تهران می‌افزاید.

(جدول  $۵$ )

نتایج آزمون خود همبستگی فضایی در خصوص ارتباط بین درجه حرارت سطح زمین با  $4$  شاخص‌های چهارگانه نیز در فصل سرد سال (تصاویر مربوط به تاریخ  $۱۲$  فوریه  $۲۰۱۷$ ) مطابق جدول  $۶$  به دست آمده است.

به منظور کسب اطمینان از درست بودن پردازش تصاویر ماهواره‌ای در اثبات وجود همبستگی‌فضایی (معناداری) بین شاخص‌های چهارگانه با درجه حرارت، اقدام به ارزیابی صحت داده‌ها در خصوص دمای بازیابی شده از سطح زمین از تصاویر ماهواره‌ای لندست  $۸$  در تاریخ مورد نظر، با دمای ثبت شده توسط ایستگاه هواشناسی مهرآباد تهران در آن روز، نموده است. نتایج نشان داد تصاویر ماهواره‌ای مورد استفاده به جهت مطابقت با نتایج ایستگاه هواشناسی

#### ۱-Land Surface Temperature

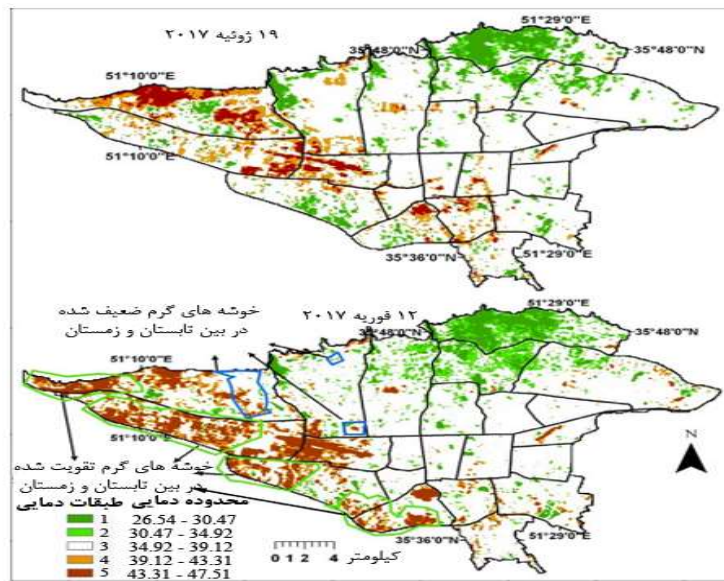
بررسی و ارزیابی وضعیت جزیره حرارتی...

جدول ۵- همبستگی بین NDWI، NDBaI، NDBI، NDVI و LST در فصل گرم سال (۱۴۰۷ زوئیه ۲۰۱۷)

شاخص‌ها	شاخص‌های آماری	LST	NDVI	NDBI	NDBaI	NDWI
LST	مقدار همبستگی	۱/۰۰				
	سطح همبستگی	۰/۰۰۰				
NDVI	مقدار همبستگی	-۰/۵۳	۱/۰۰			
	سطح همبستگی	۰/۰۰۰	۰/۰۰۰			
NDBI	مقدار همبستگی	۰/۶۲	-۰/۸۰	۱/۰۰		
	سطح همبستگی	۰/۰۰۰	۰/۰۰۰	۰/۰۰۰		
NDBaI	مقدار همبستگی	۰/۱۲	-۰/۲۰	۰/۵۵	۱/۰۰	
	سطح همبستگی	۰/۰۰۲	۰/۰۰۱	۰/۰۰۰	۰/۰۰۰	
NDWI	مقدار همبستگی	-۰/۶۲	۰/۸۰	-۱/۰۰	-۰/۵۵	۱/۰۰
	سطح همبستگی	۰/۰۰۰	۰/۰۰۰	۰/۰۰۰	۰/۰۰۰	۰/۰۰۰

جدول ۶- همبستگی بین NDWI، NDBaI، NDBI، NDVI و LST در فصل سرد سال (۱۲ فوریه ۱۴۰۷)

شاخص‌ها	شاخص‌های آماری	LST	NDVI	NDBI	NDBaI	NDWI
LST	مقدار همبستگی	۱/۰۰				
	سطح همبستگی	۰/۰۰۰				
NDVI	مقدار همبستگی	-۰/۱۲۳	۱/۰۰			
	سطح همبستگی	۰/۰۰۲	۰/۰۰۰			
NDBI	مقدار همبستگی	۰/۲۰۸	-۰/۱۱۰	۱/۰۰		
	سطح همبستگی	۰/۰۰۱	۰/۰۰۳	۰/۰۰۰		
NDBaI	مقدار همبستگی	۰/۱۰۹	-۰/۱۷۸	۰/۲۵۸	۱/۰۰	
	سطح همبستگی	۰/۰۰۲	۰/۰۰۱	۰/۰۰۰	۰/۰۰۰	
NDWI	مقدار همبستگی	-۰/۱۰۱	۰/۱۰۹	-۰/۰۹۸	-۰/۲۸۶	۱/۰۰
	سطح همبستگی	۰/۰۰۳	۰/۰۰۳	۰/۰۰۴	۰/۰۰۰	۰/۰۰۰



شکل ۴- پراکندگی فضایی مناطق دمایی تهران را برای تصاویر ۲۰۱۷/۱۱/۳۰ و ۲۰۱۷/۰۵/۱۵

کسب اطمینان از توانایی بازیابی داده‌های با کیفیت بالا تصاویر ماهواره‌ای لندست ۸ برای آنالیز جزیره حرارت شهر تهران به صورت میدانی، داده‌های ایستگاه هواشناسی مهرآباد نیز مورد بررسی قرار گرفت. نتایج این مرحله نشان داد که میزان حرارت اندازه‌گیری شده توسط تصاویر ماهواره‌ای با میزان حرارت به دست آمده از ایستگاه زمینی مهرآباد دارای تفاوت ۳/۹۹ درجه کلوین بوده است. نتایج یافته‌های Chan و همکاران (۲۰۱۸)، در شهرهای شمال شرقی تایوان و همکاران (۲۰۱۸)، در شهرهای میتوان گفت که علت بوده است. در این خصوص میتوان گفت که اصلی تفاوت زیاد دمای شهر تهران در دو روش فوق ناشی از غلظت زیاد آلاینده‌ها در سطح شهر است. علاوه بر این، نتایج یافته‌های این پژوهش نشان داد که تراکم ساختمانی تهران، تغییرات سطح زمین، آلودگی هوا و منابع غیرطبیعی با خاصیت گرمایشی، دارای اثرگذاری بالایی در وضعیت حرارتی این شهر هستند. با توجه به نتایج یافته‌های این پژوهش در خصوص اثرگذاری عناصر فوق میتوان گفت که در هسته‌های قدیمی شهر به دلیل شیوه‌های غیراصولی ساخت و ساز و همچنین به دلیل وجود کوچه‌ها و خیابان‌های

#### ۴. بحث و نتیجه گیری

همان‌طوری که مطرح گردید جزیره حرارتی علاوه بر افزایش دمای سطح شهرها، کاهش کیفیت هوا، منجر به بروز انوع بیماری‌های روحی، روانی و منجر اثرات به کاهش کیفیت زندگی شهروندان، بروز بیماری‌ها، مهاجرت، پراکندگی جمعیت، تغییر الگوی بادهای محلی و غیره می‌شود. لذا جزایر حرارتی شهری برای انواع وسیعی ازمطالعات علمی ازآب و هواشناسی تا هیدرولوژی، بوم‌شناسی، زمین‌شناسی، علوم پزشکی، طراحی شبکه حمل و نقل و مسکن و همچنین طیف وسیعی ازمطالعات محیطی، مهندسی و انسانی ضروری است. امروزه استفاده از فناوری سنجش از دور و از آن جمله تصاویر ماهواره‌ای توانایی‌های را فراهم ساخته تا با استفاده از این فناوری بتوانند اثرات نامطلوب صنعتی شدن و توسعه شهرنشینی را کنترل نمود (Fan et al., ۲۰۱۸; Gao et al., ۲۰۱۸) با توجه به اهمیت این موضوع، در این پژوهش، وضعیت جزیره حرارتی کلان شهر تهران از طریق بررسی و تحلیل تصاویر ماهواره‌ای مورد تحلیل قرار گرفت. به منظور

اصلی مدیران شهری باشد. علاوه بر پیشنهادهای مطرح شده، راهبردهای زیر جهت توجه کنترل پدیده‌ی جزیره حرارتی شهر تهران ارائه می‌گردد:

۱. توجه به معیارهای افزایش پوشش سبز در طول مسیرهای حمل و نقل (اطراف خیابان و اطراف کوچه‌ها، مسیرهای خط آهن)، اماکن عمومی (پارک‌ها، زمین‌های دولتی و شهری، حیاط مدرسه‌ها، زمین‌های بازی و پارکینگ‌های عمومی) و خصوصی (پیرامون مناطق مسکونی و بام‌ها و دیوارها، ساختمان‌های تجاری و صنعتی، کوچه‌ها)
۲. نظارت بر کیفیت و استانداردهای محیط زیستی در صنایع و مخصوصاً صنایع خودروسازی در کنار فرهنگ‌سازی استفاده عموم از وسایط نقلیه عمومی.
۳. بازسازی و احیای بافت‌های فرسوده که عمدتاً ساختمان‌ها با پشت‌بام‌های فلزی ساخته شده و منجر به انعکاس شدید نور خورشید می‌شود، در اولویت برنامه‌های مدیران شهر باشد.
۴. توجه به معیارهای مرتبط با معماری و آمایش سرزمین شهری بر طبق اصول معماری سبز و همچنین توجه به نوع درختان کاشت شده به عنوان فضای سبز شهری.
۵. توجه به معیارهای مدیریت آب و خاک و جلوگیری از تخریب خاک ناشی از گسترش شهرسازی و همچنین کشاورزی فشرده اطراف شهره که ناشی از تقاضای زیاد محصولات توسط شهروندان کلان شهرها می‌باشد.
۶. توجه به معیارهای کاهنده حرارت ناشی از فعالیت‌های انسانی از جمله نظارت دقیق بر آلاینده‌های صنایع و وسایط نقلیه و همچنین حمایت از تولید وسایل گرمایشی کم‌صرف خانوارها.

باریک و مارپیچ مانند، پشت‌بام‌های حلبی (فلزی) و مخصوصاً نبود پوشش گیاهی منجر به شکل‌گیری خوش‌های داغ در سطح شهر تهران می‌شود.

نتایج آنالیز خود همبستگی فضایی موران در خصوص همبستگی بین درجه حرارت سطح زمین شهر تهران و در فصل گرم نشان داد که پوشش گیاهی سبب کاهش دمای سطح زمین در سطح شهر می‌شود، به عبارتی پوشش گیاهی سطح شهرها نقش بسزایی در جلوگیری از بروز پدیده حرارتی و یا تعدیل این پدیده دارد، در این راستا می‌توان از پشت‌بام‌های مسکن برای کاشت درخت و گیاهان استفاده نمود (پشت‌بام سبز). تأثیرپذیری هوای شهر تهران از عوامل گفته شده منجر به ایجاد شرایط آب و هوایی به نام آب و هوای شهری در این شهر گردیده است که به صورت جزیره حرارتی در سطح کلان‌شهر تهران بروز یافته و منجر به تغییرات آب و هوای و محیط‌زیست شهر تهران شده است. در راستای رفع این مشکل پیشنهاد می‌شود که از طریق کاشت درخت در کنار خیابان‌ها و همچنین توسعه پارک‌ها و فضاهای سبز باز بروز آفتاب با زمین بایر مانند کف خیابان جلوگیری شود. علاوه بر این، می‌توان گفت که با توجه به اینکه کلان‌شهر تهران در حدود یک چهارم جمعیت ایران را در خود جای داده که این امر خود منجر به گسترش و شدت فشارهای واردہ بر محیط‌زیست گردیده و نتیجه آن بروز انواع آلودگی‌های محیط‌زیستی، تخریب منابع و کاهش فضاهای طبیعی و در پی آن افزایش نیاز شهروندان تهرانی به محیط‌زیستی سالم و در نهایت آسیب‌پذیری و نوسان این منطقه در برابر جزیره حرارتی شده است. در راستای رفع این مشکل بایستی از گسترش فیزیکی شهر تهران جلوگیری کرده و حفظ و احیای محیط‌زیست این شهر جزو برنامه‌های

### References:

- Adegoke, C. and A. Sojobi. ۲۰۱۵. "Climate change impact on infrastructure in Osogbo metropolis, south-west Nigeria." *Journal of Emerging Trends in Engineering and Applied Sciences* ۶(۳), ۱۵۶-۱۶۷.
- Amawa, S. ۲۰۱۷. "Assessment of Health Related Impacts of Urban Heat Island (UHI) in Douala Metropolis, Cameroon." *World Journal of Applied Environmental Chemistry* ۲(۲), ۵۴-۶۰.
- Asgarian, A. Amiri, B. J. & Sakieh, Y. ۲۰۱۰. Assessing the effect of green cover spatial patterns on urban land surface temperature using landscape metrics approach. *Urban Ecosystems*, ۱۸(۱), ۲۰۹-۲۲۲.
- Chen, X.L. Zhao, H.M. Li, P.X. & Yin, Z.Y. ۲۰۰۷. Remote sensing image-based analysis of the relationship between urban heat island and land use/cover changes, *Remote Sensing of Environment*. ۱۰۴, ۱۳۳-۱۴۶.
- Estoque, R. C. Murayama, Y. & Myint, S. W. ۲۰۱۷. Effects of landscape composition and pattern on land surface temperature: An urban heat island study in the megacities of Southeast Asia. *Science of the Total Environment* ۵۷۷, ۳۴۹-۳۵۹.
- Fan, Y. Li, Y. & Yin, S. ۲۰۱۸. Interaction of multiple urban heat island circulations under idealised settings. *Building and Environment*, 134, 10-20.
- Feng, H. Zhao, X. Chen, F. & Wu, L. ۲۰۱۴. Using land use change trajectories to quantify the effects of urbanization on urban heat island. *Advances in Space Research* 53(3), 463-473.
- Gao, Z. Bresson, R. Qu, Y. Milliez, M. de Munck, C. & Carissimo, B. ۲۰۱۸. High resolution unsteady RANS simulation of wind, thermal effects and pollution dispersion for studying urban renewal scenarios in a neighborhood of Toulouse. *Urban Climate*, 22, 114-130.
- Karkon-Sistani, Marzieh. Doustan, Reza. ۲۰۱۴. Thermal island of Mashhad metropolitan. *Journal of Geography and Spatial development* ۲(۲), ۱۲۳-۱۳۸.
- Li, H. Zhou, Y. Li, X. Meng, L. Wang, X. Wu, S. & Sodoudi, S. ۲۰۱۸. A new method to quantify surface urban heat island intensity. *Science of the Total Environment*, 624, 262-272.
- Lin, C.Y. Chen, W.C. Chang, P.L. & Sheng, Y.F. ۲۰۱۱. Impact of the urban heat island effect on precipitation over a complex geographic environment in northern Taiwan. *Journal of Applied Meteorology and Climatology* 50(4), 239-253.
- Liu, L. & Zhang, Y. ۲۰۱۱. Urban heat island analysis using the Landsat TM data and ASTER data: A case study in Hong Kong. *Remote Sens* 3(7):1030-1052.
- Mallick, J. Kant, Y. & Bharath, B.D. ۲۰۰۸. Estimation of land surface temperature over Delhi using Landsat ETM+. *Journal of Indian Geophysics Union* 12(3), 131-140.
- Mallick, J. Kumar Singh, C. Shashtri, S. Rahman, A. & Mukherjee, S. ۲۰۱۲. Land surface emissivity retrieval based on moisture index from LANDSAT TM satellite data over heterogeneous surfaces of Delhi city. *International Journal of Applied Earth Observation and Geoinformation* 19, 348-358.
- Mushore, T. D. Mutanga, O. Odindi, J. & Dube, T. ۲۰۱۷. Assessing the potential of integrated Landsat 8 thermal bands, with the traditional reflective bands and derived vegetation indices in classifying urban landscapes. *Geocarto International* 32(8), 886-899.
- Norman, J. M. ۱۹۹۰. Algorithms for extracting information from remote thermal-IR observation of the earth surface. *Remote Sensing environment* 31, 107-118.
- Qin, Z. Karnieli, A. & Berliner, P. ۲۰۰۱. A mono-window algorithm for retrieving land surface temperature from LANDSAT TM data and its application to the Israel-Egypt border region. *International Journal of Remote Sensing* 22(18), 3719-3746.

Sharma, A. Conry, P. Fernando, H. Hamlet, A. F. Hellmann, J. & Chen, F. ۲۰۱۶. Green and cool roofs to mitigate urban heat island effects in the Chicago metropolitan area: Evaluation with a regional climate model. *Environmental Research Letters* ۱۱(۶), ۰۶۴۰۴.

Sobrino, J.A. Jimenez- Munoz, J.C. & Paolini, L. ۲۰۰۴. Land surface temperature retrieval from LANDSAT TM ۵. *Remote Sensing of Environment* ۹۰ (۴), ۴۳۴-۴۴۰.

Sobrino, J.A. Li, Z.L. Stoll, M.P. & Becker, F. ۱۹۹۶. Multi- channel and multi-angle algorithms for estimating sea and land surface temperature with ATSR data. *Int J Remote Sens* ۱۷ (۱۱), ۲۰۸۹-۲۱۱۴.

Streutker, D.R. ۲۰۰۲. A remote sensing study of the urban heat island of Houston, Texas. *Int. J. Remote Sens* ۲۳: ۲۰۹۰-۲۶۰۸.

Sun, Q. Tan, J. & Xu, Y. ۲۰۱۰. An ERDAS image processing method for retrieving LST and describing urban heat evolution: a case study in the Pearl River Delta Region in South China. *Environmental Earth Sciences* ۵۹, ۱۰۴۷-۱۰۵۵.

Toth, C. and G. Józkow. ۲۰۱۶. "Remote sensing platforms and sensors: A survey." *ISPRS Journal of Photogrammetry and Remote Sensing* ۱۱۰, ۲۲-۳۶.

Toutakhane, A. M. & Mofareh, M. ۲۰۱۷. Investigation And Evaluation Of Spatial Patterns In Tabriz Parks Using Landscape Metrics. *Journal of Urban and Environmental Engineering*, ۱۰(۲), ۲۶۳-۲۶۹.

Toutakhane, A. M. ۲۰۱۸. Influencing Factors On Performance Of Social Behavior

Settings At Parks And Green Spaces Of Tabriz. *Journal of Urban and Regional Analysis*, ۱۰(۲), ۱۹۹-۲۱۰.

United States Geological Survey website, (<http://www.usgs.gov>).

Van de Griend, A.A. & Owe, M. ۲۰۰۳. On the relationship between thermal emissivity and the normalized difference vegetation index for natural surfaces. *Int. J. Remote Sens* ۲۴, ۱۱۱۹-۱۱۳۱.

Wang, S. Ma, Q. Ding, H. & Liang, H. ۲۰۱۸. Detection of urban expansion and land surface temperature change using multi-temporal landsat images. *Resources, Conservation and Recycling* ۱۲۸, ۵۲۶-۵۳۴.

Weng, Q. ۲۰۰۱. A remote sensing-GIS evaluation of urban expansion and its impact on surface temperature in the Zhujiang Delta, China. *Int J Remote Sens* ۲۲, ۱۹۹۹-۲۰۱۴.

Xu, D. and R. Chen. ۲۰۱۷. "Comparison of urban heat island and urban reflection in Nanjing City of China." *Sustainable Cities and Society* ۳۱, ۲۶-۳۶.

Zhang, J. Wang, Y. & Wang, Z. ۲۰۰۸. Change analysis of land surface temperature based on robust statistics in the estuarine area of Pearl River (China) from ۱۹۹۰ to ۲۰۰۰ by Landsat TM/ETM+ data. *Journal of Remote Sensing* ۲۸(۱۰), ۲۲۸۳-۲۳۹۰.

Zhang, Y. Yiyun, C. Qing, D. & Jiang, P. ۲۰۱۲. Study on Urban Heat Island Effect Based on Normalized Difference Vegetated Index: A Case Study of Wuhan City, the ۱۸th Biennial Conference of International Society for Ecological Modeling, *Procedia Environmental Sciences* ۱۳, ۵۷۴-۵۸۱.